

論文

熱間圧延における高圧水脱スケール時の
衝突圧和田 忠義*・上田 正雄*²・押見 正一*³Impact Pressure of Water in Hydraulic Descaling during Hot Strip
Mill Rolling

Tadayoshi WADA, Masao UEDA and Masakazu OSHIMI

Synopsis :

Hydraulic descaling is commonly used to remove scale formed during reheating and continuous rolling of steel strips.

On an experimental survey of parameters which affect the descaling behaviour, impact pressure was measured precisely both by spraying over a plasticine (a modelling material) on the basis of design of experiments and by using a pressure converter. It was found that the impact pressure has good correlations with the water consumption V at a pressure of 9.8 MPa, water pressure P , rolling speed v and distance H between the material and the nozzle.

The thickness loss Δt of plasticine and the impact pressure p by hydraulic descaling can be then expressed by the descaling parameters as follows;

$$\Delta t = 2000 PV/(vH^2) \text{ (cm, correlation coefficient : 0.94)}$$

$$p = 5.64 PV/H^2 \text{ (MPa)}$$

The impact pressure calculated from the equation is in excellent agreement with H. HOJAS' results.

Since the impact pressure required to remove the primary scale is much higher than secondary scale, a careful set up of the conditions is essential to complete the descaling.

Key words : hydraulic descaling; impact pressure; primary scale; secondary scale.

1. 緒 言

薄鋼板の製造に際し、鋳片を加熱および熱間圧延中に生成した酸化スケールは、表面疵の原因となるため、高圧水装置で脱スケールされ、スケール疵のない清浄な表面の鋼板が製造される。高圧水による脱スケール性は、スケール皮膜の性状と高圧水の噴射条件との関係が強いと考えられる。

R. F. TYLECOTE ら¹⁾は、高温鋼材のスケール密着性に及ぼす要因について報告しており、中でも鉄と鉄酸化物の体積比:Pilling-Bedworth (P-B) 比²⁾に重点をおいている。

脱スケールに関する研究では、松野³⁾は、高温鋼材のスケールのブリスターが脱スケール性に影響を及ぼすとしている。しかし、脱スケール時の水圧力は 1 MPa 以下であり、熱延工場で通常脱スケールに使用されている水圧力の約 15 MPa に比べて約 1 衍も低く、十分なシ

ミュレーションになっていない。

次に、T. SHEPPARD ら⁴⁾は、高温鋼材の脱スケール機構について、①高圧水による急冷作用、②破壊作用、③爆発作用および④スケール皮膜の成長による圧縮応力などにより脱スケールされるとしている。

この中で、急冷、破壊および爆発作用については、高圧水を噴射時の水圧力、ノズル流水量およびノズルの取付け位置などの高圧水の噴射条件との関係が強いと考えられる。しかし、これらの要因については不明な点が多い。ここでは、高圧水の噴射条件を表すパラメーターとして衝突圧を用いて検討することにした。

高圧水を噴射時の衝突圧については、H. HOJAS ら⁵⁾、W. HEROLD⁶⁾およびO. HENNIG ら⁷⁾の研究がある。これらはいずれも衝突圧の計算式を提唱しているが、統一的な式がなく、しかも実用的でない。かつ、各要因の寄与率が不明で、多くの場合定性的な対応がとられてきた。

したがって、高圧水を噴射時の衝突圧に及ぼす各種要

平成2年9月本会講演大会にて発表 平成2年3月26日受付 (Received Mar. 26, 1990)

* 新日本製鉄(株)鉄鋼研究所(現:新日本製鉄(株)人事部)(Steel Research Laboratories, Now Personnel Division, Nippon Steel Corp.)

*² 新日本製鉄(株)堺技術研究部(現:ホタニ商事(株))(Sakai R & D Lab., Nippon Steel Corp., Now Hotani Co., Ltd.)

*³ 新日本製鉄(株)鉄鋼研究所(Steel Research Laboratories, Nippon Steel Corp., 20-1 Shintomi Futtsu 299-12)

因の影響を明らかにし、定量化することが重要であると考えられる。

一方、衝突圧の測定には、一般に面圧計が使用されているが、衝突面積を正確、かつ、容易に測定するために、衝突面の面圧パターンを観察しやすいプラスティン⁸⁾を供試材に用いる方がよいと考えた。そこで、今回、高温鋼材に似た塑性変形をする白色プラスティンを用いて、高圧水による厚みの減少量を測定し、さらに、面圧計を用いて高圧水を噴射時の衝突圧を測定し、各種要因との関係の数式化を試みた。

2. 実験方法

2.1 供試材

供試材は、高温鋼材に似た塑性変形をする白色プラスティン⁸⁾（粘土状物質、炭酸カルシウム、鉱物質、石灰、油脂、脂肪酸などを含む、比重 1.8、15°C の剪断強さ 83 kPa）を使用した。これを石膏ロールで成形し、高圧水の衝突面積よりやや大きめの厚み 3.0、幅 22、長さ 6.6 cm の寸法に仕上げた。

2.2 高圧水によるプラスティンの厚み減少量に及ぼす要因の調査

高圧水噴射装置 TS-30AHF 型（最大圧力 9.8 MPa,

Table 1. Experimental conditions of hydraulic descaling.

| Factor | Unit | Level | Remarks |
|--|-------------|---|---|
| Water pressure Water consumption at a pressure of 9.8 MPa | MPa l/s | 5.9 0.8, 1.03, 1.5 | Water temp. 13°C Room temp. 12°C |
| Rolling speed Distance between material and nozzle | cm/s cm | 40, 80, 120 19, 24, 29 | R.D. on upper plane Nozzle Rolling direction |
| Gradient angle Descaling direction | • D | 5, 15, 25 R.D. on upper and lower plane. Inverse D. on top. $P \times v$, $V \times v$, $v \times H$ | |
| Interaction | — | | |
| Angle of torsion Spraying angle Jet width Descaling No. Orthogonal table | δ γ Z | 15 30 $2H \tan(\gamma/2) / \cos \theta$ $L_{27}(3^{13}) = 27$ | |

Table 2. Plans $L_{27}(3^{13})$ and results.

| No. | P 1 | V 2 | v 5 | H 9 | θ 10 | D 12 | P_v 6.7 | V_v 8, 11 | H_v 3, 13 | e 4 | T.L. Δt cm | Deviation $\Delta t - \Delta t'$ |
|-------|--------|--------|--------|--------|---------|---------|--------------|----------------|----------------|--------|-----------------------|-------------------------------------|
| 1 | 9.8 | 1.5 | 40 | 29 | 5 | RU | 11 | 11 | 11 | 1 | 0.61 | 0.30 |
| 2 | 9.8 | 1.5 | 80 | 24 | 15 | IU | 22 | 22 | 12 | 1 | 0.65 | 0.34 |
| 3 | 9.8 | 1.5 | 120 | 19 | 25 | RL | 33 | 33 | 13 | 1 | 0.60 | 0.29 |
| 4 | 9.8 | 1.03 | 40 | 24 | 15 | RL | 11 | 23 | 23 | 2 | 0.47 | 0.16 |
| 5 | 9.8 | 1.03 | 80 | 19 | 25 | RU | 22 | 31 | 21 | 2 | 0.38 | 0.07 |
| 6 | 9.8 | 1.03 | 120 | 29 | 5 | IU | 33 | 12 | 22 | 2 | 0.18 | -0.13 |
| 7 | 9.8 | 0.8 | 40 | 19 | 25 | IU | 11 | 32 | 32 | 3 | 0.32 | 0.01 |
| 8 | 9.8 | 0.8 | 80 | 29 | 5 | RL | 22 | 13 | 33 | 3 | 0.17 | -0.14 |
| 9 | 9.8 | 0.8 | 120 | 24 | 15 | RU | 33 | 21 | 31 | 3 | 0.19 | -0.12 |
| 10 | 5.9 | 1.5 | 40 | 24 | 25 | IU | 23 | 11 | 23 | 3 | 0.31 | 0 |
| 11 | 5.9 | 1.5 | 80 | 19 | 5 | RL | 31 | 22 | 21 | 3 | 0.36 | 0.05 |
| 12 | 5.9 | 1.5 | 120 | 29 | 15 | RU | 12 | 33 | 22 | 3 | 0.17 | -0.14 |
| 13 | 5.9 | 1.03 | 40 | 19 | 5 | RU | 23 | 23 | 32 | 1 | 0.41 | -0.10 |
| 14 | 5.9 | 1.03 | 80 | 29 | 15 | IU | 31 | 31 | 33 | 1 | 0.06 | -0.25 |
| 15 | 5.9 | 1.03 | 120 | 24 | 25 | RL | 12 | 12 | 31 | 1 | 0.03 | -0.28 |
| 16 | 5.9 | 0.8 | 40 | 29 | 15 | RL | 23 | 32 | 11 | 2 | 0.06 | -0.25 |
| 17 | 5.9 | 0.8 | 80 | 24 | 25 | RU | 31 | 13 | 12 | 2 | 0.08 | -0.23 |
| 18 | 5.9 | 0.8 | 120 | 19 | 5 | IU | 12 | 21 | 13 | 2 | 0.08 | -0.23 |
| 19 | 7.8 | 1.5 | 40 | 19 | 15 | RL | 32 | 11 | 32 | 2 | 0.92 | 0.61 |
| 20 | 7.8 | 1.5 | 80 | 29 | 25 | RU | 13 | 22 | 33 | 2 | 0.34 | 0.03 |
| 21 | 7.8 | 1.5 | 120 | 24 | 5 | IU | 21 | 33 | 31 | 2 | 0.51 | 0.20 |
| 22 | 7.8 | 1.03 | 40 | 29 | 25 | IU | 32 | 23 | 11 | 3 | 0.14 | -0.17 |
| 23 | 7.8 | 1.03 | 80 | 24 | 5 | RL | 13 | 31 | 12 | 3 | 0.19 | -0.12 |
| 24 | 7.8 | 1.03 | 120 | 19 | 15 | RU | 21 | 12 | 13 | 3 | 0.24 | -0.07 |
| 25 | 7.8 | 0.8 | 40 | 24 | 5 | RU | 32 | 32 | 23 | 1 | 0.67 | 0.36 |
| 26 | 7.8 | 0.8 | 80 | 19 | 15 | IU | 13 | 13 | 21 | 1 | 0.16 | -0.15 |
| 27 | 7.8 | 0.8 | 120 | 29 | 25 | RL | 21 | 21 | 22 | 1 | 0.03 | -0.28 |
| Total | | | | | | | | | | | 8.33 | -0.24 |

R & I : Rolling and Inverse Direction U & L : On Upper and Lower Plane T.L. : Thickness Loss of Plasticine

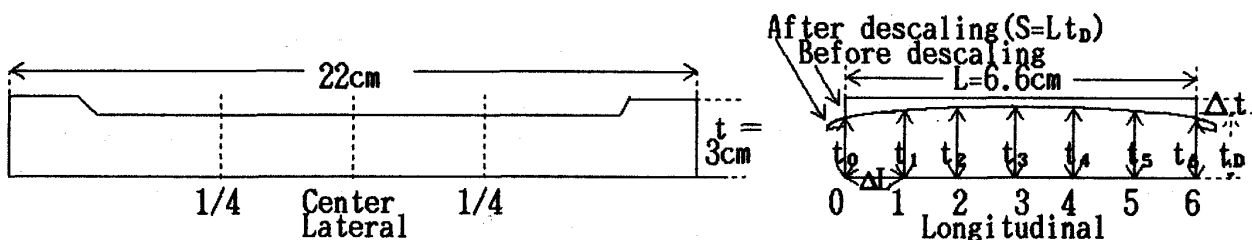


Fig. 1. Schematic illustration of cross sectional shape of plasticine after hydraulic descaling.

最大流量 100 l/min) を用いて、上記供試材に高圧水を噴射後の厚み減少量を測定した。Table 1 に高圧水の噴射条件を示す。それらの要因として、水圧力 P (MPa), ノズル流水量 V (l/s), ノズルと供試材間の垂直距離 H (cm), 傾斜角 θ (°), 振り角 δ (°), 噴射方向 D および通板速度 v (cm/s) を実験計画法⁹⁾による $L_{27}(3^{13})$ の直交表で解析した。Table 2 に各要因のわりつけを示す。ここで、厚み減少量を大きくするため、噴射回数をそれぞれ 10 回とした。さらに、Fig. 1 に示すように、高圧水を噴射後のプラスティンの厚み減少量 Δt は、初期厚み t (cm) と高圧水を噴射後の幅方向中央部の平均厚み t_D (cm)との差として計算した。ここで、高圧水を噴射後のプラスティンの断面積 S (cm²) は、幅方向中央部の断面を長手方向に 6 等分し、シンプソンの公式で計算した。すなわち、

$$S = (\Delta L / 3) \{ t_0 + 4(t_1 + t_3 + t_5) + 2(t_2 + t_4) + t_6 \}$$

$$\Delta t = t - t_D = t - S/L$$

である。

ここで、 ΔL は供試材の長さの 6 分の 1, $t_0, t_1, t_2, t_3, t_4, t_5$ および t_6 は高圧水を噴射後の供試材の厚み, L は供試材の初期の長さである。

2・3 プラスティンの厚み減少量に及ぼす垂直距離およびノズル流水量の影響調査

高圧水を噴射する際の前記各要因の中で、熱延ラインで比較的に管理しやすい要因は、垂直距離およびノズル流水量である。

そこで、プラスティンの厚み減少量に及ぼす垂直距離およびノズル流水量の影響を調査した。すなわち、Table 3 に示すように、ノズルが DNB1830 の時、水圧力は 7.8 MPa, DNB1530, 1132 および 0830 の時、9.8

MPa とした。ここで、垂直距離は 19~34 cm の範囲で 3 cm 間隔とし、通板速度は 80 cm/s, 傾斜角 15° および噴射方向は上面の正方向で一定にした。

2・4 高圧水を噴射時の衝突圧の測定

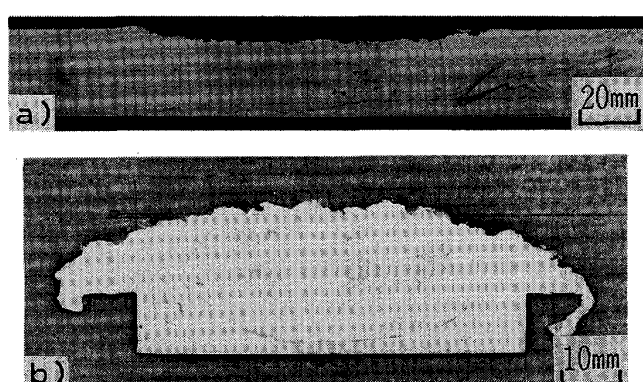
高圧水を噴射時の衝突圧を面圧計で測定した。測定条件は、ノズルは DNB1530, 垂直距離は 28 cm で、水圧力は 9.8 MPa である。また、面圧計の受圧面は 20 cm² で圧力変換器を用いて測定した。なお、衝突面積は、プラスティンを静止させた状態で高圧水を 6 s 噴射後、その凹み部から求めた。

3. 実験結果

3・1 プラスティンの厚み減少量に及ぼす高圧水の噴射条件の影響

Photo. 1 に高圧水を噴射後のプラスティンの厚み減少量状況を示す。プラスティンの厚み減少量は幅方向の中央部で最大で、長さ方向では頭部および尾部が中央部よりやや大きい。ここで、Table 2 に示した厚み減少量は幅方向の中央部での測定値を代表値とした。

次に、プラスティンの厚み減少量に及ぼす高圧水の噴射条件の各要因の影響を Fig. 2 に示す。また、Table 2 のデータをもとに分散分析を行った結果を Table 4 に示す。



a) Lateral section b) Longitudinal section

Photo. 1. Results of descaling test carried out on plasticine (Test No. 2).

Table 3. Effect of distance between material and nozzle on impact force by hydraulic descaling.

| Nozzle | P (MPa) | H (cm) | | | | | |
|----------|-----------|----------|----|----|----|----|----|
| | | 19 | 22 | 25 | 28 | 31 | 34 |
| DNB 1830 | 7.8 | | | | | | |
| 1530 | 9.8 | 19 | 22 | 25 | 28 | 31 | 34 |
| 1132 | 9.8 | 19 | 22 | 25 | 28 | 31 | 34 |
| 0830 | 9.8 | 19 | 22 | 25 | 28 | 31 | 34 |

$v = 80 \text{ cm/s}$ $\theta = 15^\circ$ D : R. D. on top plane

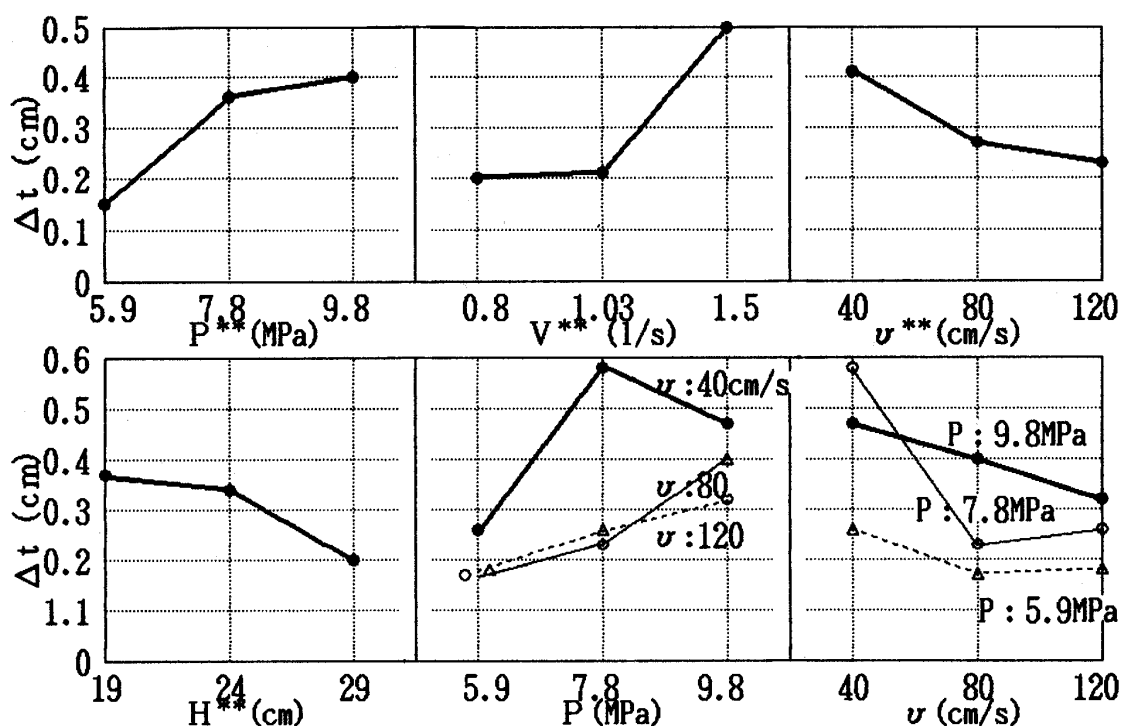


Fig. 2. Effect of descaling conditions on thickness loss of plasticine.

Table 4. Analysis table of variance.

| Factor | Fluctuation of each unit S | Degree of freedom f | Variance V | Variance ratio F | Pure fluctuation S' | Contribution rate ρ |
|--------|------------------------------|-----------------------|--------------|--------------------|-----------------------|--------------------------|
| P | 0.31 | 2 | 0.156 | 14.7 ** | 29.0 | 20.7 |
| V | 0.52 | 2 | 0.259 | 24.4 ** | 49.6 | 35.4 |
| v | 0.17 | 2 | 0.087 | 9.0 ** | 15.3 | 11.6 |
| H | 0.15 | 2 | 0.077 | 7.3 ** | 14.3 | 10.3 |
| Pv | 0.10 | 4 | 0.026 | 2.5 | 8.4 | 6.0 |
| e | 0.15 | 14 | 0.011 | | 22.4 | 16.0 |
| Total | 1.40 | 26 | | | | 100 |

** : Significant at 1%

プラスティンの厚み減少量に及ぼす高圧水噴射条件の各要因のうち、ノズル流水量 V 、水圧 P 、通板速度 v および垂直距離 H の影響が比較的大きく、これらの各要因はそれぞれ 1% 有意である。ただし、傾斜角 θ 、噴射方向 D 、ノズル流水量 V と通板速度 v との交互作用 Vv および通板速度 v と垂直距離 H との交互作用 Hv の変動が小さいので、誤差をプールした。

次に、Table 4 の分散分析結果から要因の効果を推定する。信頼限界は、信頼度を 95% として、誤差の分散 $V_e = 0.01$ 、その自由度 14、各要因の自由度 1 の F 表の 5% 値は 4.60 であるので、各要因の有効反覆数 $n_e = 9$ または 3 を代入すると、

$$\pm \sqrt{FV_e/n_e} = \pm \sqrt{4.60 \times 0.01/9} = \pm 0.07 \text{ または } \pm \sqrt{4.60 \times 0.01/3} = \pm 0.12$$

となる。すなわち、Fig. 2 に示したプラスティンの

厚み減少量 Δt に及ぼす各要因の中で、有効反覆数が 9 であるノズル流水量 V 、水圧 P 、通板速度 v および垂直距離 H は、それぞれの水準で $\pm 0.07 \text{ cm}$ 、また、有効反覆数が 3 の水圧 P と通板速度 v の交互作用 Pv については $\pm 0.12 \text{ cm}$ で示される範囲の信頼度が 95% である。

3・2 プラスティンの厚み減少量に及ぼす垂直距離およびノズル流水量の影響

Fig. 3 にプラスティンの厚み減少量に及ぼす垂直距離の影響をノズル流水量別に示す。いずれの曲線も厚みの減少量 Δt は垂直距離 H の二乗に反比例しているようであり、ノズル流水量が大きくなると増加する傾向を示している。図中でノズル流水量が大きい DNB1830 では、垂直距離が 19 および 22 cm で Δt がやや減少しているようである。この原因は、水流がプラスティン

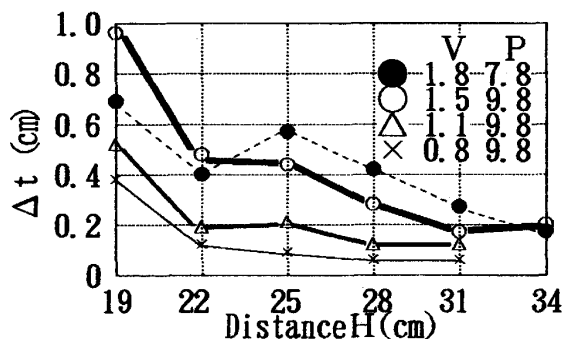


Fig. 3. Effect of distance between material and nozzle on thickness loss of plasticine.

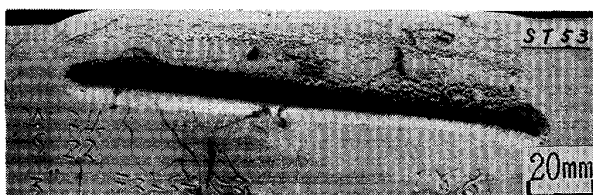


Photo. 2. Plane view of concaved profile of plasticine deformed by high pressure water from descaling nozzle ($P = 9.8 \text{ MPa}$, Nozzle 1530, $H = 28 \text{ cm}$, spraying time : 6 s).

に衝突した際、吹き飛ばされてその後面に厚く盛り上がったためと考えられる。

3・3 高圧水噴射時の衝突圧

ノズル DNB1530, 垂直距離 28 cm, 水圧力 9.8 MPa で高圧水を噴射した際の衝突力は 198N であった。また、この条件で高圧水を 6s 噴射後のプラスティンの凹み状況を Photo. 2 に示す。この時のプラスティンの凹み部（幅 15.5 cm, 長さ 1.2 cm）の面積から衝突圧を計算すると、106.5 kPa となる。

4. 考察

4・1 プラスティンの厚み減少量に及ぼす各種要因との関係

Table 2 のデータをもとに、プラスティンの厚み減少量 Δt に及ぼす寄与率の大きい 4 要因との重相関式を求め、次式が得られた。重相関係数は 78% である。

$$\Delta t = 1040PV/(vH^2) \quad (1)$$

一方、3・2 節で垂直距離の影響を調査したデータをもとに、前記の 4 要因との重相関式を求め、次式が得られた。重相関係数は 94% である。

$$\Delta t = 2000PV/(vH^2) \quad (2)$$

ここで、式(1)および式(2)には傾斜角の要因を取り入れるべきであるが、通常使用されている範囲ではこの

影響が小さいため、誤差の要因になっていると考えられる。また、式(1)の重相関係数が低くなった理由として、噴射方向の影響が考えられる。すなわち、噴射方向は本来、供試材と高圧水との相対的な衝突速度の要因とみなすべきであり、噴流の流速に含まれると考えたほうがよい。このため、実験誤差が大きくなつた可能性がある。

4・2 高圧水噴射時の衝突圧の計算

3・3 節で得られた衝突圧は 106.5 kPa であった。この測定条件を H. HOJAS ら⁵⁾ および(株)共立合金製作所の技術資料¹⁰⁾の計算式に適用して衝突圧を求めるとき、いづれも 107.9 kPa となり、本研究結果とよく一致する。

また、今回求めた式(2)のプラスティンの厚み減少量は高圧水噴射時の衝突圧が大きくなるほど大きくなり、脱スケール性が良好になるとされる。そこで、プラスティンの厚み減少量 Δt と衝突圧 p との関係を測定した結果を Fig. 4 に示す。Fig. 4 から、 Δt は p および $1/v$ に比例し、次式で表せることがわかった。ここで、 p が約 60 kPa 以下で Δt が減少しているが、プラスティンの剪断強さ⁸⁾ 以下になったためと考えられる。

$$\Delta t = 354.6 p/v \quad (3)$$

さらに、式(2)および式(3)から、次の衝突圧の実験式が得られた。

$$p = 5.64PV/H^2 (\text{MPa}) \quad (4)$$

次に、式(4)および H. HOJAS ら⁵⁾ の衝突圧の計算式を用いて各種噴射条件での衝突圧を計算した結果を Table 5 および Fig. 5 に示す。両式による衝突圧の計算結果はきわめてよく一致している。参考までに、H. HOJAS ら⁵⁾ の衝突圧の計算式を以下に示す。

$$p = Pt/f = 20.63 \mu FP/f \quad (5)^{5)}$$

ただし、水流量 $Q = \mu Fc$ およびノズル出側における

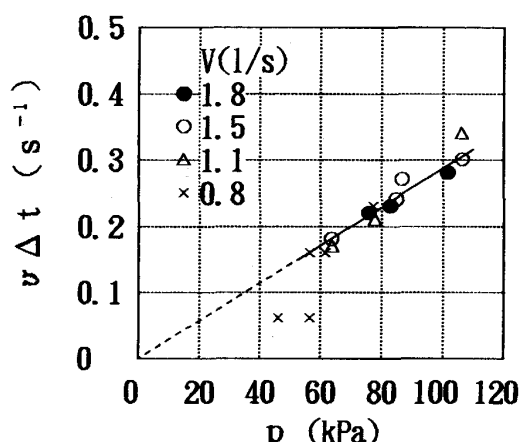
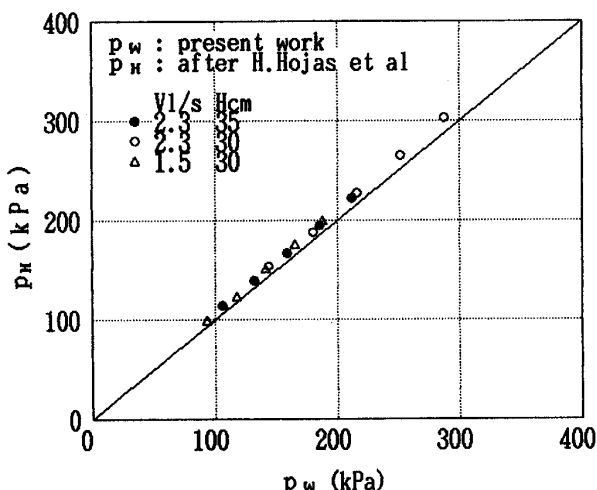


Fig. 4. Relation between impact pressure and thickness loss of plasticine.

Table 5. Calculated impact pressure at various water pressures.

| Reference | Scale | V (l/s) | H (cm) | Water pressure (MPa) | | | | | Required impact pressure (kPa) |
|--|-------|-----------|----------|----------------------|------------|------------|------------|------------|--------------------------------|
| | | | | 9.8 | 12.3 | 14.7 | 17.2 | 19.6 | |
| H. HOJAS ⁵⁾ Present work | 1st | 2.3 | 35 | 118 104 | 136 129 | 164 156 | 191 181 | 218 208 | ≥167 |
| H. HOJAS ⁵⁾ Present work | 1st | 2.3 | 30 | 151 141 | 184 177 | 223 212 | 259 247 | 297 282 | ≥186 |
| H. HOJAS ⁵⁾ Present work | 2nd | 1.5 | 30 | 97 92 | 121 116 | 148 138 | 173 162 | 196 184 | ≥ 59 |

Fig. 5. Relation between calculated impact pressure by present work and H. HOJAS et al.⁵⁾.

流速 $c = 4.54 \sqrt{gP/\rho}$ である。また、 μ は噴射係数(一), F はノズルの断面積 (m^2), f は衝突面積 (m^2) および g は重力加速度 (m/s^2) である。

式(5)式は、いずれも水流量 Q またはこれに関する μ , F および f などの項目をあらかじめ測定しておく必要があるため、実用にはやや不便である。

したがって、式(4)は、水圧力 P , ノズル流水量 V および垂直距離 H の 3 要因から衝突圧を求めることができる簡便式であり、式(5)に比べて実用的である。

4・3 高圧水噴射時の衝突圧と脱スケール性の検討

高圧水による脱スケールの適正条件を推定するには、①高温鋼材の脱スケール性を高め、かつ、②鋼材の温度低下を小さくすることが重要である。ここでは①のみを検討し、次報¹¹⁾で総合的に検討する。

先に、水圧力 9.8 MPa, ノズル DNB1530 および垂直距離 28 cm での衝突圧は 106.5 kPa であると報告した。また、今回、著者らが低炭素鋼の二次スケールの脱スケールに必要な最低衝突圧を調査したところ、35 kPa が得られた。

この値は、O. HENNIG ら⁷⁾が求めた普通鋼および低合金鋼の熱間圧延における二次スケールの脱スケールに必

要な衝突圧の約 50~80 kPa に近い、したがって、この衝突圧は、低炭素鋼の二次スケールの脱スケールに対しては十分な値と考えられる。

一方、W. HEROLD⁶⁾は、鋼種が不明であるが、熱延鋼板および条鋼材での二次スケールの脱スケールに必要な衝突圧を求め、200~400 kPa を推奨している。この報告での最低衝突圧は著者らの値に比べて約 1 衍高い。この理由は、脱スケールが難しい条鋼材での衝突圧を目安にしているためと考えられる。この衝突圧を得るには、前記の高圧水噴射条件では不十分で、ノズルに DNB1530 を使用し、水圧力 P を 14.7 MPa に増加した場合、垂直距離 H は約 18 cm 以下にする必要がある。

次に、一次スケールについては、H. HOJAS ら⁵⁾は普通鋼、低および高合金鋼においては最低約 400 kPa の衝突圧が必要であるとしている。また、W. HEROLD⁶⁾は 400~2 000 kPa および O. HENNIG ら⁷⁾は 200~250 kPa 以上の衝突圧を推奨している。この値は二次スケールの脱スケールに必要な衝突圧の約 2~5 倍も高い。

この理由は、一次スケールはきわめて厚いため、二次スケールに比べて高圧水によるスケールと地鉄の界面の急冷作用が起こりにくいこと、ヴァタイト (FeO) は高温ほど塑性変形しやすい¹²⁾ことおよび合金鋼では加熱中に生成したサブスケールの投錫作用により剥離しにくくなっていることなどが考えられる。

以上を Table 6 に要約して示す。これから、一次スケールを除去するために必要な衝突圧は、12% Cr 鋼のような高合金鋼の場合には約 400 kPa 以上、普通鋼および低合金鋼の場合には約 250 kPa 以上と考えられる。

そこで、この衝突圧を得るための条件を検討する。たとえば、式(4)の水圧力 P を 14.7 MPa およびノズル流水量 V を 2.3 l/s として、400 kPa 以上の衝突圧を得るには、垂直距離を 22 cm 以下および 250 kPa 以上の衝突圧を得るには、垂直距離を 28 cm 以下にする必要がある。

以上述べたように、とくに、一次スケールの脱スケールに必要な衝突圧は、二次スケールに比べてきわめて高

Table 6. Impact force and pressure by hydraulic descaling.

| Reference Scale | Present work (kPa) | O. HENNIG <i>et al.</i> ⁷⁾ (kPa) | H. HOJAS <i>et al.</i> ⁵⁾ (kPa) | W. HEROLD ⁶⁾ (kPa) |
|-----------------|-----------------------|--|---|---------------------------------------|
| 1st 2nd | — 35 | 196~245 49~78 | 410 — | 392~1960 196~392 |
| Steel used | Low carbon steels | Carbon steels Low alloy steels | Carbon steels High alloy steels | Hot rolled steel sheets Bar steels |

Table 7. Some examples of impact pressure by hydraulic descaling on hot strip mills¹³⁾.

| Condition | A | B | C | |
|-----------|---|------------------------------------|-------------------------------------|-------------------------------------|
| RSB | P (MPa) V (l/s) H (mm) p (kPa) | 14.7 1.2 690, 300 20, 104 | 14.7 1.5 613, 348 40, 124 | 12.7 1.5 470, 220 59, 268 |
| FSB | P (MPa) V (l/s) H (mm) p (kPa) | 14.7 0.9 275, 165 92, 257 | 14.7 1.5 285, 225 183, 295 | 14.7 1.5 190, 190 414, 414 |

いので、鋼種および目的に応じて必要な衝突圧を確保する適正脱スケール条件を選定することが肝要である。

4・4 热間圧延ラインの脱スケール設備の衝突圧

次に、わが国の热間圧延ラインにおける脱スケール設備¹³⁾の衝突圧を検討する。ここで使用されている脱スケール条件は、水圧力が 14.7 MPa、ノズルが DNB0825~2325 および垂直距離が約 20~60 cm のものが比較的に多い。これらの衝突圧を式(4)から求めた結果を Table 7 に示す。

これから、現状の热間圧延ラインにおける一次スケールの脱スケール設備での衝突圧は約 20~270 kPa で、とくに、上面側でやや低い。この値は、H. HENNIG ら⁷⁾の低炭素鋼および低合金鋼の場合に必要な衝突圧の 200~250 kPa に比べてもやや低くなっている。

この理由として、垂直距離の中に鋼材の厚みが含まれているものがあること、豊ロール(VSB)による一次スケールの破壊作用が加味されていないことおよび完全には脱スケールされない場合も圧延によるステッキングおよびその後の脱スケールで除去されることなどが考えられる。

一方、二次スケールの場合の衝突圧は約 30~400 kPa で、H. HENNIG ら⁷⁾の 50~80 kPa に比べてやや高く、とくに、仕上げ圧延機入り側(FSB)での衝突圧は約 100~400 kPa と高い。この理由は、FSB での脱スケールは鋼板の表面品質への影響が大きいため、脱スケール性を高めることに主眼をおいているためと考えられる。しかし、衝突圧を高くするとともに鋼材の温度低下も大きくなると考えられるので、脱スケール性を確保し、かつ、鋼材の温度低下を抑制するための適正脱スケール条

件を選定することが必要である。

5. 結 言

高压水を噴射時の衝突圧に及ぼす要因について、実験計画法によるプラスティンの実験と面圧計を用いて実験を行い、以下の結果を得た。

(1) 高压水を噴射時のプラスティンの厚み減少量 Δt はノズル流量 V 、水圧力 P 、通板速度 v および垂直距離 H の 4 要因と相関関係が強い。

(2) 高压水によるプラスティンの厚み減少量 Δt および衝突圧 p は各要因と次の実験式が成り立つ。

$$\Delta t = 2000 PV/(vH^2) \text{ (cm)}$$

(重相関係数 94%)

$$p = 5.64 PV/H^2 \text{ (MPa)}$$

上記衝突圧の式は、簡便かつ、実用的であり、H. HOJAS らの式で求めた結果とよく一致する。

上記の結果から、現状の热間圧延工程における脱スケール条件を考察したところ、下記の検討、最適化が必要であることが判明した。

①一次スケールを除去するために必要な衝突圧は、二次スケールに比べてきわめて高いので、その脱スケール条件を設定する時には十分検討する必要がある。

②現状の热延ラインでの衝突圧は、とくに FSB での衝突圧が高くなっている。そのため、脱スケールによる鋼材の温度低下を抑制するための適正脱スケール条件の検討が必要である。

最後に、本研究にあたって適切な御助言をいただいた近畿大学理工学部教授合田進博士、新日本製鉄(株)第二技術研究所薄板研究センター所長加藤弘博士および主幹研究員秋末治博士に深く感謝いたします。

文 献

- 1) R. E. TYLECOTE: J. Iron Steel Inst., 195 (1960), p. 380
- 2) N. B. PILLING and R. E. BEDWORTH: J. Inst. Met., 29 (1923), p. 529
- 3) 松野二三朗: 鉄と鋼, 65 (1979), p. 599
- 4) T. SHEPPARD and W. M. STEEN: J. Iron Steel Inst., 208 (1970), p. 797
- 5) H. HOJAS and R. RHEINDT: Berg. Hüttenmann Monatsh., 112 (1967), p. 372
- 6) W. HEROLD: Bänder Bleche Rohre (1969), p. 279

-
- 7) O. HENNIG and G. ZWANZIG: Neue Hütte, 9 (1964), p. 361
 - 8) 柳下小太郎, 塚本顕彦, 江川康夫, 大森舜二, 飯伏順一: 三菱重工技報, 11 (1974), p. 43
 - 9) 田口玄一: 実験計画法上 (1975), p. 104 [丸善]
 - 10) デスケーリングノズル高圧試験報告書 (共立合金製作所編) (1989年10月)
 - 11) 和田忠義, 押見正一, 上田正雄: 鉄と鋼, 77 (1991), p. 1458
 - 12) 松野二三朗, 錦田俊一: 鉄と鋼, 71 (1985), S 1282
 - 13) わが国における最近のホットストリップ製造技術 (日本鉄鋼協会編) (1987), p. 396